Mar., 2020

文章编号: 1000-7032(2020)03-0265-06

CaLuBO₄:Tb³+ 荧光粉的制备及发光性质

孙晓园^{1*}, 范小暄¹, 何俊杰¹, 吕启松¹, 姜光远¹, 邓 昀¹, 骆永石², 吴春雷³

(1. 长春师范大学 物理学院, 吉林 长春 130032;

- 2. 中国科学院长春光学精密机械与物理研究所 发光学及应用国家重点实验室, 吉林 长春 130033;
 - 3. 牡丹江师范学院 理学院,黑龙江 牡丹江 157012)

摘要:采用高温固相反应法合成了不同 Tb^3+ 掺杂浓度的 $CaLuBO_4$: xTb^3+ 荧光粉 研究了样品的晶体结构和 发光性质。在紫外光激发下 样品的发射光谱由 Tb^3+ 离子的 $^5D_3 \rightarrow ^7F_f$ (J=6 5 A) 和 $^5D_4 \rightarrow ^7F_f$ (J'=6 5 A 3) 特征发射组成 其中位于 545 nm 和 554 nm 附近的 $^5D_4 \rightarrow ^7F_5$ 跃迁发射强度最大。荧光粉的激发光谱是由位于紫外区的 Tb^3+ 的 4f-5d 和 f-f 跃迁构成的。研究了 Tb^3+ 浓度对样品发光性质的影响。测量并分析了 $CaLuBO_4$: xTb^3+ 荧光粉的 5D_3 能级和 5D_4 能级荧光寿命。结果表明 $CaLuBO_4$: xTb^3+ 是一种适于紫外激发的新型黄绿光荧光粉。

关 键 词: 荧光粉; 光致发光; 荧光寿命

中图分类号: 0482.31 文献标识码: A **DOI**: 10.3788/fgxb20204103.0265

Preparation and Photoluminescence Properties of CaLuBO₄: Tb³⁺ Phosphor

SUN Xiao-yuan 1* , FAN Xiao-xuan 1 , HE Jun-jie 1 , LYU Qi-song 1 , JIANG Guang-yuan 1 , DENG Yun 1 , LUO Yong-shi 2 , WU Chun-lei 3

- $(\ 1.\ Department\ of\ Physics\ , Changchun\ Normal\ University\ , Changchun\ 130032\ , China;$
- State Key Laboratory of Luminescence and Applications , Changchun Institute of Optics , Fine Mechanics and Physics , Chinese Academy of Sciences , Changchun 130033 , China;
 - 3. Faculty of Science , Mudanjiang Normal University , Mudanjiang 157012 , China)
 * Corresponding Author , E-mail: sxueyuan@ 163.com

Abstract: The phosphors CaLuBO₄: xTb³⁺ were synthesized through the solid-state reaction technique. The structure , photoluminescence properties of these phosphors were described. Upon excitation with UV light excitation , the photoluminescence emission spectra could be assigned to the transitions of Tb³⁺ from ${}^5D_3 \rightarrow {}^7F_J$ (J = 6, 5, 4) and ${}^5D_4 \rightarrow {}^7F_J$ (J' = 6, 5, 4, 3). The two strong emissions peaked at 545 nm and 554 nm, which arose from the ${}^5D_4 - {}^7F_5$ of Tb³⁺, respectively. The photoluminescence excitation spectra show a broad 4f-5d band and f-f transitions in UV region. The dependence of photoluminescence intensities on Tb³⁺ concentration was studied. The luminescence lifetimes of 5D_3 and 5D_4 energy level were measured and analysed, respectively. The CaLuBO₄: xTb³⁺ phosphor is a novel yellow-green emitting phosphor suitable for ultraviolet light excitation.

Key words: phosphor; photoluminescence; fluorescence lifetime

收稿日期: 2019-12-17; 修订日期: 2019-12-29

基金项目: 长春师范学院自然科学基金([2015]006)资助项目

Supported by Natural Science Foundation of Changehun Normal University [2015]006)

1 引 言

稀土元素独特的电子结构决定了它具有特殊 的发光特性 其发射光谱几平覆盖了从近紫外到 远红外的各个波段。稀土激活的发光材料在显 示、照明、检测、医学影像等方面有广泛地应 用[19]。稀土发光材料的研究有力地推动了照明 显示领域产品的更新换代和电子信息产业的发 展。稀土发光材料受到国内外研究者的广泛关 注 应用领域也不断得到扩展[10]。在已报道的稀 土发光材料中,Ce³⁺、Pr³⁺、Eu²⁺、Eu³⁺、Tb³⁺、 Dy3+和 Er3+等都是研究比较多的发光离子[11-27]。 其中,Tb3+ 离子是常见的绿色高效激活离子。 Tb^{3+} 离子的发光主要是来自于 $^5D_3 \rightarrow ^7F_4$ 和 $^5D_4 \rightarrow$ ${}^{7}F_{I}(J=0\sim6)$ 的跃迁发射 ,其中 ${}^{5}D_{4}\rightarrow{}^{7}F_{5}$ 跃迁是 位于 550 nm 附近的绿光发射 ,因此 Tb3+ 离子被 广泛地应用于绿粉的制备与研究中[23 27-29]。稀土 离子激活的硼酸盐荧光粉作为发光材料中的一类 体系 在短波 UV 辐射激发下,具有较高的效率, 应用于无汞荧光灯、真空紫外激发的显示器 中[28-30]。其中 稀土激活的硼酸盐 CaLuBO₄ 迄今 为止尚未有研究报道。本文以硼酸盐 CaLuBO₄ 为基质,Tb3+离子为激活剂,采用高温固相法合 成了 $CaLuBO_4$: xTb^{3+} (x = 0.005 , 0.01 , 0.025 , 0.05 0.1 0.2) 系列荧光粉 ,并研究了其晶体结 构、光谱性质、发光机理和荧光寿命。

2 实 验

采用高温固相反应法制备了 CaLuBO₄: xTb³⁺ (x=0.005 p.01 p.025 p.05 p.1 p.2) 荧光粉系列样品。制备原料为 CaCO₃ (分析纯)、Lu₂O₃ (99.99%)、H₃BO₃(优级纯)和 Tb₄O₇(99.99%)。其制备过程如下: 根照材料组成 按化学计量比称取原料,在玛瑙研钵中研磨均匀,放入刚玉坩埚。置于高温箱式马弗炉中,在碳还原气氛下,1 400 ℃恒温4h。随炉冷却至室温后 将材料取出 研磨后即得所需样品。采用 Rigaku D/MAX-RB 型 X 射线衍射(XRD) 仪测定样品的晶体结构。样品的发射光谱和激发光谱利用日立 F-4600 分光光度计测定,激发源为150 W 的 Xe 灯。荧光寿命测量由 Tektronix-TDS 3052 数字示波器记录 利用 Continuum Surelite Nd: YAG 激光器泵浦 Horizon OPO(光参量振荡器)输出 268 nm 脉冲激光激发。

3 结果与讨论

3.1 样品的 XRD 分析

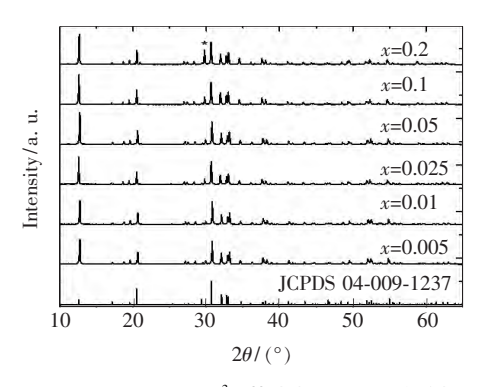


图 1 CaLuBO₄: xTb³+ 荧光粉的 XRD 衍射图

Fig. 1 X-ray diffraction patterns of the ${\rm CaLuBO_4}: x{\rm Tb^{3}}^+$ phosphor

图 2 为样品 CaLuBO₄: 0.05Tb³⁺发射光谱 激发波长分别为 216 233 268 303 377 nm。 CaLu-BO₄: 0.05Tb³⁺样品的发射光谱由位于 370 ~ 670 nm 之间的一系列锐锋组成。样品位于 382 nm 附近的发射峰来源于 Tb³⁺离子的 5 D₃ \rightarrow 7 F₆ 跃迁 位于 416 nm 和 422 nm 附近的发射峰来源于 Tb³⁺离子的 5 D₃ \rightarrow 7 F₅ 跃迁 位于 440 nm 附近的发射峰来源于 Tb³⁺离子的 5 D₃ \rightarrow 7 F₆ 跃迁 位于 488 nm 和 499 nm 附近的发射峰来源于 Tb³⁺离子的 5 D₃ \rightarrow 7 F₆ 跃迁 位于 488 nm 和 499 nm 附近的发射峰来源于 Tb³⁺离子的 5 D₄ \rightarrow 7 F₆ 跃迁 位于 545 nm 和 554 nm 附近的发射峰来源于 Tb³⁺离子的 5 D₄ \rightarrow 7 F₆ 跃迁 位于 587 nm 附近的发射峰来源于 Tb³⁺离子的 5 D₄ \rightarrow 7 F₇ 跃迁 位于 627 nm 附近的发射峰来自于 Tb³⁺离子的 5 D₄ \rightarrow 7 F₃ 跃迁。由图 2 可知,当激发波长为 268 nm 时,CaLuBO₄:

 0.05Tb^{3+} 样品的发光强度最大; 当激发波长为 216 233 303 377 nm 时,样品的发光强度较弱。样品位于 545 nm 附近发光峰的强度最大,其次为位于 554 nm 附近的发光峰,而位于 382 ,416 ,422 ,440 ,488 ,499 ,545 ,554 ,587 ,627 nm 附近的发射峰强度较弱,即样品以 5 D_4 $\rightarrow ^7$ F_5 的跃迁强度最大,而源于 5 D_3 的跃迁发射强度都比较弱。

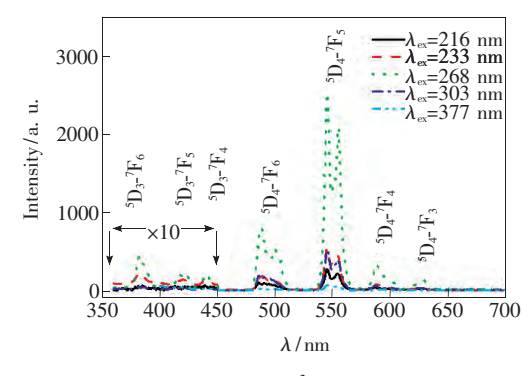


图 2 CaLuBO₄: 0. 05Tb^{3 +} 样品的发射光谱

Fig. 2 Photoluminescence spectra of the $CaLuBO_4$: 0. 05Tb³⁺ phosphor

图 3 是 $CaLuBO_4$: $0.05Tb^3+$ 荧光粉的激发光谱, 监测波长分别为 382, 422, 440, 488, 545, 554, 587, 627 nm。由图 3 可知, 在不同监测波长下, 样品的激发光谱形状相似, 都是由宽带峰和一系列的锐锋组成。宽带峰位于 $200 \sim 340$ nm 之间, 峰值在 216, 233, 268, 303 nm 附近, 源自于 Tb^3+ 离子的 4f-5d 跃迁。位于 $340 \sim 390$ nm 之间还有一组很弱的激发峰,将其放大之后可以分辨出 5 个激发峰,源自于 Tb^3+ 离子由基态 7F_6 能级到激发态能级的吸收跃迁。分别归属于 Tb^3+ 离子的 $^7F_6 \rightarrow ^5L_8$ (343 nm) $_7^7F_6 \rightarrow ^5L_9$ (351 nm) $_7^7F_6 \rightarrow ^5G_5$ (360 nm) $_7^7F_6 \rightarrow ^5C_6$ (377 nm) 吸收跃迁。

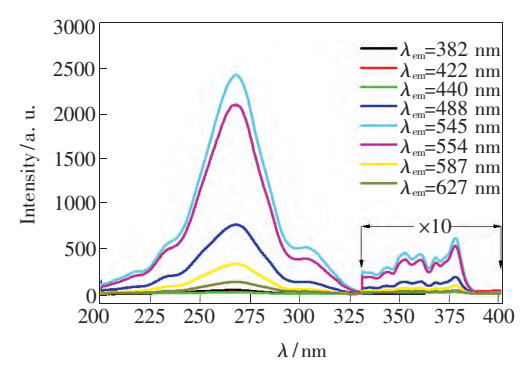


图 3 CaLuBO₄: 0.05Tb³⁺样品的激发光谱

Fig. 3 Excitation spectra of CaLuBO₄: 0.05Tb³⁺ phosphor

3.2 CaLuBO₄: *x*Tb³+ 发光性质与 Tb³+ 离子浓度的关系

图 4 为样品 $CaLuBO_4$: xTb^{3+} (x=0.005~0.01, 0.025 0.05~0.1~0.2) 的激发光谱 ,监测波长为545 nm。由图 4 可知 不同 Tb^{3+} 离子掺杂浓度样品激发谱的谱形相似。随着 Tb^{3+} 离子掺杂浓度升高 ,最强的激发峰的位置从 264 nm 移动到了268 nm。随着 Tb^{3+} 离子掺杂浓度升高 样品位于216 nm 附近的激发峰强度先增强后减弱 ,当 Tb^{3+} 摩尔分数为 0.01 mol 时强度最大。样品位于233 268 ,303 nm 附近的激发峰强度也是随着 Tb^{3+} 离子掺杂浓度升高先减弱后增强再减弱 ,当 Tb^{3+} 离子的摩尔分数为 0.1 时 样品位于268 nm 附近的激发峰强度最大。

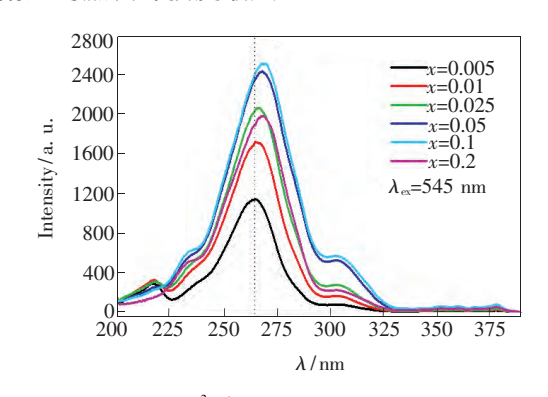


图 4 CaLuBO₄: xTb³⁺ (x = 0.005 ρ.01 ρ.025 ρ.05 ρ.1 , 0.2) 样品的激发光谱(λ_{em} = 545 nm)

Fig. 4 Excitation spectra of the CaLuBO₄: xTb³⁺ (x = 0.005, 0.01, 0.025, 0.05, 0.1, 0.2) samples, λ_{em} = 545 nm.

最大。图 5 中的插图给出了当激发波长为 268 nm 时 样品的积分发光强度与 Tb^{3+} 离子浓度的对应关系。样品的积分发光强度随 Tb^{3+} 浓度的增加先上升后下降。样品在 x=0.1 mol 时积分发光强度最大 ,其中 ,x=0.05 mol 和 x=0.1 mol 时积分发光强度十分接近。

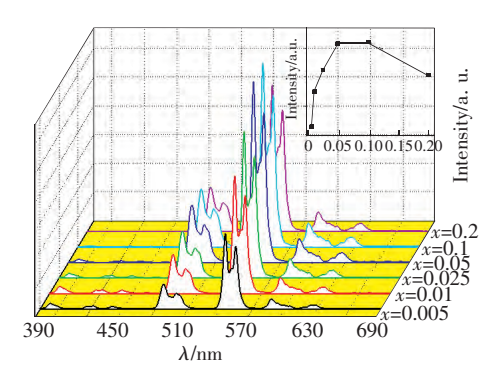


图 5 CaLuBO₄: xTb³⁺ (x = 0.005 β.01 β.025 β.05 β.1, 0.2) 样品的发射光谱(λ_{xx} = 268 nm)

Fig. 5 Photoluminescence spectra of the CaLuBO₄: xTb³⁺ (x = 0.005, 0.01, 0.025, 0.05, 0.1, 0.2) phosphors under 268 nm excitation wavelength

3.3 荧光寿命分析

在 268 nm 光的激发下,监测 440 nm(${}^5D_3 \rightarrow {}^7F_4$) 和 545 nm(${}^5D_4 \rightarrow {}^7F_5$) 两个波长位置,测得 CaLuBO₄: xTb³⁺(x=0.005,0.01,0.025,0.05,0.1 p0.1 p0.2) 的荧光衰减曲线,如图 6 和图 7 所示。其中, 5D_4 能级的衰减满足单 e 指数衰减,而 5D_3 能级的衰减是偏离单 e 指数衰减的 因此,寿命由下面的公式计算给出:

$$\tau = \frac{\int_0^\infty I(t) t dt}{\int_0^\infty I(t) dt}, \qquad (1)$$

其中 I(t) 代表 t 时刻的发光强度 π 是荧光寿命。用公式(1) 计算得出的寿命如图 6 和图 7 中的插图所示。从图 6 中可以看出,CaLuBO₄:xTb³⁺的 5 D₃→ 7 F₄跃迁发射的寿命在71.56 ~3.03 μ s 左右 寿命随 Tb³⁺浓度的增加而减小,当 Tb³⁺的摩尔分数大于0.025时,寿命下降较快。从图 7 中可以看出, 5 D₄→ 7 F₅跃迁发射的寿命在2.03 ~1.68 ms 左右 随 Tb³⁺浓度的增加寿命变短。当 Tb³⁺ 摩尔分数大于0.05 时 寿命下降较快。 5 D₃ 能级的寿命比 5 D₄ 能级的寿命短得多。随 Tb³⁺浓度的增加, 5 D₃ 能级的寿命变短趋势比 5 D₄ 能级更显著 因此 5 D₃ 能级的荧光

猝灭浓度小于 $^{5}D_{4}$ 能级荧光猝灭浓度 这与荧光强度 随浓度的变化情况一致。

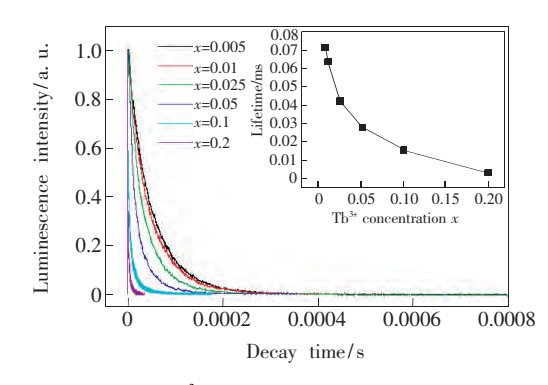


图 6 CaLuBO₄: xTb³⁺ (x = 0.005 ρ.01 ρ.025 ρ.05 ρ.1 , 0.2) 荧光寿命衰减曲线 ,监测波长 440 nm ,插图为样品的荧光寿命随浓度的变化关系。

Fig. 6 PL decay curves of the Tb³⁺ ions in CaLuBO₄: xTb³⁺ (x = 0.005, 0.01, 0.025, 0.05, 0.1, 0.2) phosphors monitored at 440 nm. Inset shows lifetime vs. Tb³⁺ content.

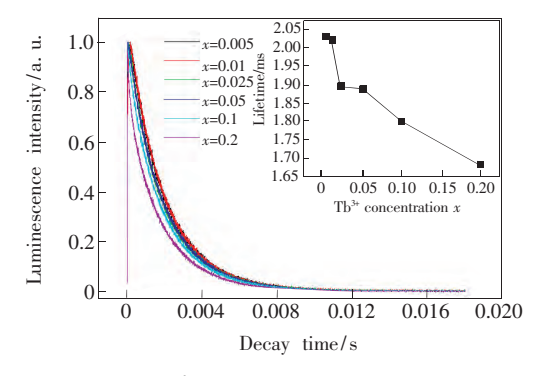


图 7 CaLuBO₄: xTb³⁺ (x = 0.005 \(\rho \). 01 \(\rho \). 025 \(\rho \). 05 \(\rho \). 1 , 0. 2) 荧光寿命衰减曲线 ,监测波长 545 nm ,插图为样品的荧光寿命随浓度的变化关系。

Fig. 7 PL decay curves of the $\mathrm{Tb^{3+}}$ ions in $\mathrm{CaLuBO_4}$: $x\mathrm{Tb^{3+}}$ (x=0.005 , 0.01 , 0.025 , 0.05 , 0.1 , 0.2) phosphors monitored at 545 nm. Inset shows lifetime vs. $\mathrm{Tb^{3+}}$ content.

4 结 论

采用高温固相法合成了 $CaLuBO_4$: xTb^3 +($x=0.005\ 0.01\ 0.025\ 0.05\ 0.1\ 0.2$) 系列黄绿光荧光粉 研究了样品的发光性质。在紫外光激发下, $CaLuBO_4$: xTb^3 + 的发射光谱由位于 370 ~ 670 nm之间的一系列的锐锋组成,来源于 Tb^3 + 离子的 $^5D_3 \rightarrow ^7F_J$ ($J=6\ 5\ A$) 和 $^5D_4 \rightarrow ^7F_J$ ($J'=6\ 5\ A$, 3)特征发射。其中位于 545 nm 和 554 nm 附近的 $^5D_4 \rightarrow ^7F_5$ 跃迁发射强度最大,因此样品的发光

颜色为明亮的黄绿色。在 268 nm 的光激发下 样品的积分发光强度随 Tb^{3+} 浓度的增加先上升后下降 ${}^5_{}$ D₃ \rightarrow ${}^7_{}$ F_J(J=6 5 4) 跃迁的发光强度在 x=0.01 mol 时最大 ${}^5_{}$ D₄ \rightarrow ${}^7_{}$ F_J(J'=6 5 4 3) 跃迁的发光强度在 x=0.1 mol 时最大。通过测量样品的荧光寿命

衰减曲线 我们发现随着 Tb³+浓度的增加 ¸D₃ 能级的寿命变短趋势比⁵D₄ 能级更显著 因此⁵D₃ 能级的荧光猝灭浓度小于⁵D₄ 能级荧光猝灭浓度 与荧光强度随浓度的变化情况一致。CaLuBO₄: xTb³+是一种适于紫外激发的新型黄绿光荧光粉。

参考文献:

- [1] 张亮亮 涨家骅,郝振东,等. Cr^{3+} 掺杂的宽带近红外荧光粉及其研究进展 [J]. 发光学报, 2019, 40 (12): 1449-1459.
 - ZHANG L L ZHANG J H ,HAO Z D *et al.* . Recent progress on Cr³⁺ doped broad band NIR phosphors [J]. *Chin. J. Lumin.* , 2019 40(12): 1449–1459. (in Chinese)
- [2] 刘行仁. CRT、VFD 及 FED 显示器用的荧光粉的进展 [J]. 液晶与显示 ,1996 ,11(1):61-68.

 LIU X R. Progress of the phosphors for CRT、VFD and FED displays [J]. *Chin. J. Liq. Cryst. Disp.* ,1996 ,11(1):61-68. (in Chinese)
- [3] ZHANG C H LIU Y F ZHANG J H et al. . A single-phase Ba₉Lu₂Si₆O₂₄: Eu²⁺ Ce³⁺ Mn²⁺ phosphor with tunable full-color emission for NUV-based white LED applications [J]. Mater. Res. Bull. , 2016 &0: 288-294.
- [4] 王巍 李一,宁平凡 等. 广色域钙钛矿量子点/荧光粉转换白光 LED [J]. 发光学报, 2018 39(5):627-632. WANG W ,LI Y ,NING P F *et al.*. Perovskite quantum dot/powder phosphor converted white light LEDs with wide color gamut [J]. *Chin. J. Lumin.*, 2018 39(5):627-632. (in Chinese)
- [5] 王娟娟 袁曦明 李予晋 等. 共沉淀法制备 PDP 用红色荧光粉(Y,Gd) BO₃: Eu³⁺的正交实验研究 [J]. 液晶与显示,2009 24(5):645-649.

 WANG JJ,YUAN X M, LIY J et al.. Preparation of red phosphor (Y,Gd) BO₃: Eu³⁺ by coprecipitation method with or-

thogonal test [J]. Chin. J. Liq. Cryst. Disp., 2009 24(5):645-649. (in Chinese)

- [7] NAIR G B DHOBLE S J. Assessment of electron-vibrational interaction (EVI) parameters of YAG: Ce³⁺ ,TAG: Ce³⁺ and LuAG: Ce³⁺ garnet phosphors by spectrum fitting method [J]. Spectrochim. Acta Part A: Mol. Biomol. Spectrosc. ,2017 173: 822-826.
- [8] 徐文 陈旭 宋宏伟. 稀土离子上转换发光中的局域电磁场调控 [J]. 发光学报,2018 39(1):1-26. XU W CHEN X SONG H W. Manipulation of local electromagnetic field in upconversion luminescence of rare earth ions [J]. Chin. J. Lumin., 2018 39(1):1-26. (in Chinese)
- [9] 周青超 柏泽龙 詹路 等. 白光 LED 远程荧光粉技术研究进展与展望 [J]. 中国光学 ,2015 &(3):313-328. ZHOU Q C ,BAI Z L ,LU L *et al.* . Remote phosphor technology for white LED applications: advances and prospects [J]. *Chin. Opt.* ,2015 &(3):313-328. (in Chinese)
- [10] 洪广言. 稀土发光材料 [M]. 北京: 科学出版社, 2011:6-8.

 HONG G Y. Fundamental and Application of Rare Earth Luminescent Materials [M]. Beijing: Science Press, 2011:6-8.

 (in Chinese)
- [11] HAO Z D ZHANG J H ZHANG X *et al.*. An intense blue-emitting phosphor for near-ultraviolet pumped white-light-emitting diodes: Ce³⁺-activated β-Ca₂SiO₄ [J]. *J. Lumin.*, 2014, 152: 40-43.
- [12] 唐靓 叶慧琪 肖东. 溶胶-凝胶法制备 YAG: Ce ,Yb 纳米荧光粉及其发光性质研究 [J]. 发光学报 ,2018 ,39(8): 1051-1058.
 - TANG L ,YE H Q ,XIAO D. YAG: Ce ,Yb nano-phosphor synthesized by sol-gel method and its luminescence properties [J]. Chin. J. Lumin. ,2018 39(8):1051-1058. (in Chinese)
- [13] ZHANG L L ZHANG J H ZHANG X *et al.*. Site distortion in Li₂SrSiO₄: influence on Pr³⁺ emission and application in wLED [J]. *J. Lumin.*, 2016, 180: 158-162.
- [14] 闫宏 宋婷 涨猛 筹. 高性能 X 射线影像存储 $12CaO \cdot 7Al_2O_3 \cdot Pr^{3+}$ 荧光粉的微结构及光学特性 [J]. 发光学报 , 2018 $\mathfrak{Z}9(7) : 895-902$.

- YAN H SONG T ZHANG M $_{\it et}$ al. . Microstructure and optical properties of 12CaO 7Al $_2$ O $_3$: Pr $^{3+}$ phosphors for high quality X-ray imaging [J]. Chin. J. Lumin. , 2018 39(7):895-902. (in Chinese)
- [15] WANG B H ,WANG Z H ,LIU Y G *et al.* . Crystal structure tailoring and luminescence tuning of Sr_{1-x}Ba_xAl₂Si₂O₈: Eu²⁺ phosphors for white-light-emitting diodes [J]. *J. Alloys Compd.* , 2019 ,776: 554-559.
- [16] ZHANG Y J ZHANG H ,DONG P P ,et al. . Synthesis ,structure and photoluminescence properties of (Sr ,Ca) AlSiN₃: Eu²⁺ phosphor for white light emitting diodes with controllable optical performance [J]. *J. Mater. Sci.*: *Mater. Electron.* , 2017–28(1):86-93.
- [17] ZHONG J S CHEN D Q YUAN Y J et al. . Synthesis and spectroscopic investigation of Ba₃La₆(SiO₄) 6: Eu²⁺ green phosphors for white light-emitting diodes [J]. Chem. Eng. J. , 2017 309: 795-801.
- [18] LI J CHEN L ZHANG J H et al.. Photoluminescence properties of a novel red-emitting phosphor Eu³⁺ activated scandium molybdate for white light emitting diodes [J]. Mater. Res. Bull., 2016 §3: 290-293.
- [19] HUANG C H ,CHEN C T ,GUO S Q ,et al. . Luminescence and theoretical calculations of novel red-emitting NaYPO₄F: Eu³⁺ phosphor for LED applications [J]. J. Alloys Compd. , 2017 ,712: 225-232.
- [20] ZHOU L Y ,HUANG J L ,YI L H *et al.* . Luminescent properties of Ba₃Gd(BO₃) ₃: Eu³⁺ phosphor for white LED applications [J]. *J. Rare Earths* , 2009 27(1):54-57.
- [21] 孙雷 张毅 胡兴凯 等. LED 用 KZn₄(BO₃)₃: Eu³⁺ 荧光粉的合成与发光性能研究 [J]. 液晶与显示 ,2014 29(6):893-900. SUN L ZHANG Y ,HU X K *et al.*. Synthesis and photoluminescence properties of KZn₄(BO₃)₃: Eu³⁺ red-emitting phosphor [J]. *Chin. J. Liq. Cryst. Disp.* ,2014 29(6):893-900. (in Chinese)
- [22] 张家骅 启伟 郝振东 等. 利用能量传递实现可调全色单一白光 BaMg₂Al₆Si₉O₃₀: Eu²⁺ ,Tb³⁺ ,Mn²⁺ 荧光粉(特邀) [J]. 中国光学 ,2012 5(3): 203-208.

 ZHANG J H ,LÜ W ,HAO Z D ,et al. . Color-tunable white-light emitting BaMg₂Al₆Si₉O₃₀: Eu²⁺ ,Tb³⁺ ,Mn²⁺ phosphors via energy transfer (Invited) [J]. Chin. Opt. ,2012 5(3): 203-208. (in Chinese)
- [23] RAO B V RAMBABU U BUDDHUDU S. Analysis of green luminescent Tb³⁺: Ca₄GdO(BO₃)₃ powder phosphor [J]. Phys. B: Condens. Matter, 2007–391(2):339-343.
- [24] ZHANG R ,WANG X. Preparation and luminescent characteristics of Sr₃RE₂(BO₃)₄: Dy³⁺ (RE = Y ,La ,Gd) phosphors for white LED [J]. J. Alloys Compd. ,2011 509(4):1197-1200.
- [25] LENG J ,TANG J ,XIE W Y *et al.*. Impact of pH and urea content on size and luminescence of upconverting Y₂O₃: Yb ,Er nanophosphors [J]. *Mater. Res. Bull.*, 2018, 100: 171-177.
- [26] 王林香 庹娟 叶颖 筹. Li⁺ Zn²⁺ Mg²⁺掺杂 Lu₂O₃: Er³⁺荧光粉的制备及发光特性 [J]. 中国光学 ,2019 ,12(1):112-121. WANG L X ,TUO J ,YE Y *et al.* . Preparation and luminescence properties of Li⁺ Zn²⁺ ,Mg²⁺ doped Lu₂O₃: Er³⁺ phosphors [J]. *Chin. Opt.* ,2019 ,12(1):112-121. (in Chinese)
- [27] YAN X FERN G R ,WITHNALL R ρ t al.. Contrasting behaviour of the co-activators in the luminescence spectra of Y₂O₂S: Tb³⁺, Er³⁺ nanometre sized particles under UV and red light excitation [J]. Nanoscale , 2013 5(3):1091-1096.
- [28] ZHAO W Y AN S L FAN B ρt al. . Cathodoluminescent properties of the green phosphor $Sr_3Gd(BO_3)_3$: Tb^{3+} [J]. Opt. Mater. , 2012 34(7):1124-1127.
- trosc. Spect. Anal., 2011, 31(7):1743-1746. (in Chinese)
 [30] 洪广言. 稀土发光材料 [M]. 北京: 科学出版社, 2011:160.

 HONG G Y. Fundamental and Application of Rare Earth Luminescent Materials [M]. Beijing: Science Press, 2011:160.



(in Chinese)

孙晓园(1978 -),女,黑龙江克山人,博士,教授,2008年于中国科学院长春光学精密机械与物理研究所获得博士学位,主要从事稀土发光材料及功能微结构的研究。

E-mail: sxueyuan@163.com